



You have downloaded a document from  
**RE-BUŚ**  
repository of the University of Silesia in Katowice

**Title:** Mikroregiony i submikroregiony Wyżyny Częstochowskiej na tle podziału fizycznogeograficznego Wyżyny Śląsko-Krakowskiej

**Author:** Jerzy Nita, Urszula Myga-Piątek

**Citation style:** Nita Jerzy, Myga-Piątek Urszula. (2018). Mikroregiony i submikroregiony Wyżyny Częstochowskiej na tle podziału fizycznogeograficznego Wyżyny Śląsko-Krakowskiej. W: M. Kistowski, U. Myga-Piątek, J. Solon (red.), "Studia nad regionalizacją fizycznogeograficzną Polski" (S. 211-224). Warszawa : IGiPZ PAN



Uznanie autorstwa - Na tych samych warunkach - Licencja ta pozwala na kopiowanie, zmienianie, rozprowadzanie, przedstawianie i wykonywanie utworu tak długo, jak tylko na utwory zależne będzie udzielana taka sama licencja.



UNIwersYTET ŚLĄSKI  
W KATOWICACH



Biblioteka  
Uniwersytetu Śląskiego



Ministerstwo Nauki  
i Szkolnictwa Wyższego

## 17. MIKROREGIONY I SUBMIKROREGIONY WYŻYNY CZĘSTOCHOWSKIEJ NA TLE PODZIAŁU FIZYCZNOGEOGRAFICZNEGO WYŻYNY ŚLĄSKO-KRAKOWSKIEJ

*Jerzy Nita, Urszula Myga-Piątek*

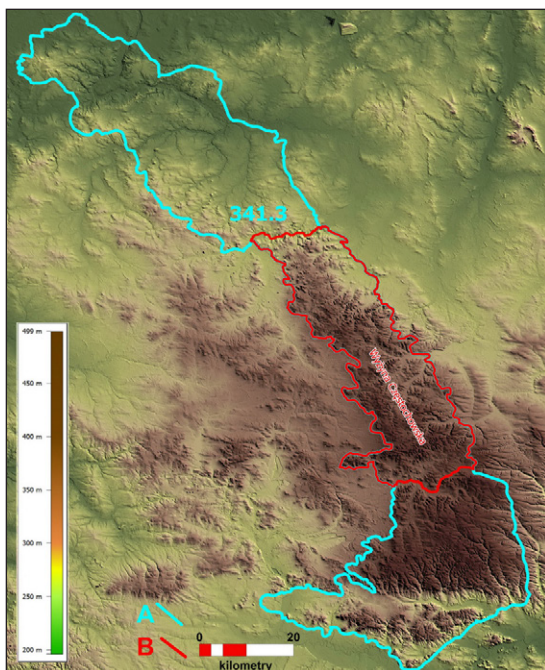
### CHARAKTERYSTYKA MEZOREGIONU

Wyżyna Częstochowska jest wyraźnie wyodrębnioną pod względem krajobrazowym jednostką strukturalną. Zróżnicowanie rzeźby terenu nawiązuje do budowy geologicznej (Gilewska 1986). Wyrazistość i odrębność tej jednostki wynika z tworzącej ją formacji geologicznej oraz specyficznych procesów geomorfologicznych zachodzących w ciągu ostatnich 150 mln lat. Wyżyna Częstochowska jest monoklinalną płytą zróżnicowanych litofacjalnie wapieni górnajurajskich (Matyszkiewicz 1997; Matyszkiewicz i in. 2006, 2012), które podlegały intensywnym i złożonym procesom lityfikacji a następnie denudacji (Dżułyński 1952; Znosko 1960, 1983; Różycki 1960, 1982; Bukowy 1972).

Powierzchnia Wyżyny Częstochowskiej w proponowanych granicach zajmuje 982,95 km<sup>2</sup> a obwód wynosi 245,79 km (Solon i in. 2018). Natomiast według J. Kondrackiego (1994) wartości te wynoszą odpowiednio 1060 km<sup>2</sup> i 172 km. Różnice, zwłaszcza obwodu w proponowanej jednostce, są skutkiem zaproponowanego znacznego rozbudowania granic jednostki. Teren ten jest zbudowany głównie z oksfordzkich wapieni płytowych, skalistych i oolitowych oraz margli (Dżułyński 1952; Bednarek i in. 1978; Heliasz i in. 1994; Matyszkiewicz 1997; Wierzbowski i in. 1983). Powierzchnia jednostki jest na ogół wyrównana, czasami lekko falista. Urozmaicają ją płaskodenne, suche doliny oraz wyróżniają się ostańce skalne, tzw. „skałki” wapienne, tworzące zespoły, grupy i rozliczne formy pojedyncze (Polichtówna 1962; Pokorny 1963; Nita 1997, 1998).

Monoklinalna płyta Wyżyny Częstochowskiej jest pochylona w kierunku północno-wschodnim, gdzie wapień zapadają się pod ility i piaskowce kredowe Wyżyny Małopolskiej. Ta granica nie jest prosta do wydzielenia i często jest przedmiotem dyskusji, ponieważ na sąsiadujące utwory jury i kredy wkraczają czwartorzędowe pokrywy lessowe, co utrudnia interpretację. Od strony zachodniej Wyżyna Częstochowska kończy się progiem denudacyjnym (kuesta górnajurajska), osiagającymi miejscami względną wysokość nawet 100 m. O współczesnej specyfice krajobrazu zdecydowały przede wszystkim zjawiska krasowe, w wyniku których powstały liczne, zróżnicowane formy powierzchniowe i podziemne (Pulina 1999).. Nie bez znaczenia dla ogólnego rysu rzeźby były też procesy tektoniczne (Znosko 1960, 1983; Matyszkiewicz i in. 2006). Za wyróżnik i wyznacznik krajobrazu Wyżyny Częstochowskiej należy uznać ostańcowe formy skalne, zbudowane z wapieni skalistych, stanowiące unikatowy walor tego obszaru. Ponad wyniesioną zrównaną powierzchnią Wyżyny formy te wznoszą się nawet 25-40 metrów (Nita 2004). Ich liczbę szacuje się na około 3500. Ostańcowe formy skalne mają bardzo

zróżnicowaną postać i kształty (Szaflarski 1955, Nita, Nita 1994). Formy krasu podziemnego reprezentowane są przez blisko tysiąc niewielkich jaskiń i schronisk (Szelerewicz, Górny 1986). Gleby Wyżyny Częstochowskiej to w przewadze bielice wykształcone na polodowcowych piaskach lub szkieletowe rędziny na wapieniach, rzadziej gleby brunatnoziemne na płatach lessowych. Roślinność jest zróżnicowana i zaburzona przez sztuczne nasadzenia leśne oraz rosnący odsetek zarastających gruntów porolnych. Wyłączenie znacznych powierzchni z użytkowania rolniczego spowodowało wzrost powierzchni leśnych Wyżyny i zarastanie ostańców skalnych, co drastycznie zmieniło krajobraz mezoregionu w ostatniej dekadzie (Nita, Myga-Piątek 2012a, b; Myga-Piątek 2012).



Ryc. 75. Położenie mezoregionu Wyżyna Częstochowska (B) na tle proponowanych granic makroregionu Wyżyna Krakowsko-Częstochowska (A). Kompozycja na tle Numerycznego Modelu Rzeźby Terenu

Fig. 75. Location of the Częstochowa Upland mesoregion (B) within the proposed borders of the Kraków-Częstochowa Upland macroregion against the background of the Digital Terrain Model  
 Źródło (Source): Opracowanie własne z wykorzystaniem (Authors' own elaboration, with the help of) [http://mapy.geoportal.gov.pl/wss/service/ATOM/httpauth/atom/CODGIK\\_NMT100service/ATOM/httpauth/atom/CODGIK\\_NMT100](http://mapy.geoportal.gov.pl/wss/service/ATOM/httpauth/atom/CODGIK_NMT100service/ATOM/httpauth/atom/CODGIK_NMT100)

Wychodnie skalne jury górnej mają przebieg z NW na SE. Na północy Wyżyna ograniczona jest przełomowym odcinkiem Warty wykształconym na wschód od Częstochowy (tzw. Mstowski przełom Warty) i tam wznosi się na około 300 m n.p.m. W części południowej granicę stanowi rozległa dolina Białej Przemszy. W proponowanym podziale tzw. Brama Wolbromska, w znaczącej części należy już do mezoregionu Wyżyna Olkuska. Najwyższe wysokości Wyżyna Częstochowska osiąga w centralnej części, przekraczając często wysokość 450 m. Kulminację stanowi Góra Zamkowa (nazywana Górą Janowskiego) 515,6 m n.p.m., położona na terenie wsi Podzamcze w gminie Ogrodzieniec.

Specyfikę i odrębność fizycznogeograficzną mezoregionu podkreśla licznych źródeł szczylinowo-krasowych (wywierzysk), stosunkowo nielicznych rzek (np. Wiercica, Czarka, Leśniówka, Krztynia, Białka, Zebrówka) o zmiennym reżimie (Dynowska 1983; Baścik 2003), kserotermicznych muraw naskalnych, fragmentów lasów bukowych na podłożu wapiennym i borów sosnowych w obniżeniach wypełnionych polodowcowymi piaskami (Szczypek 1986).

## METODY

Za podstawowe kryteria wydzielenia mikroregionów dla Wyżyny Częstochowskiej uznano (podobnie jak w przypadku Progu Woźnickiego – rozdz. 16):

- jednorodną budowę geologiczną mająca swoje odzwierciedlenie w rozwoju geomorfologicznym i w krajobrazie (małe wewnętrzne zróżnicowanie litologiczne, spójność stratygraficzna i tektoniczna formacji),
- podobną genezę i przebieg ewolucji rzeźby terenu, w tym zwłaszcza rozwój zjawisk krasowych,
- spójny wewnętrznie układ hipsometryczno-przestrzenny, wyraźnie odmienny od sąsiedniego mikroregionu,
- wyróżniające, w stosunku do sąsiedztwa, cechy rozkładu przestrzennego ostańców skalnych jako wyróżników krajobrazu (ich kształty i wielkości oraz charakterystyczne koncentracje) położenie w stosunku do dolin rzecznych, itp.

Uwzględniono także dwa kryteria mające charakter uzupełniający lub, w wątpliwych przypadkach, rozstrzygający:

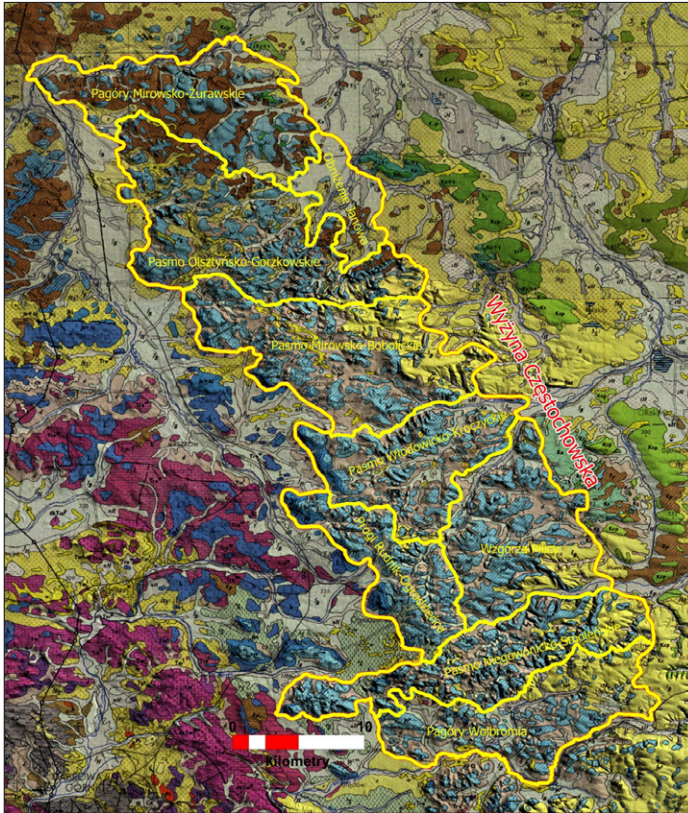
- podobieństwo w zakresie kompleksów glebowych, potwierdzające spójność podłoża skalnego, wychodni skał, cech roślinności, itp.
- zróżnicowania tektoniczne mikromorfostruktury lub mikrogeostruktury, pozwalające na wytyczenie granicy pomiędzy mikroregionami (np. mikro-tektoniczne uskoki i spękania tektoniczne, progi strukturalne, charakter systemów spękań w obrębie formacji skałkowych, itp.).

## MIKROREGIONY WYŻYNY CZĘSTOCHOWSKIEJ I ICH CHARAKTERYSTYKA

Jednym z pierwszych badaczy, który wyróżnił w obrębie Wyżyny Częstochowskiej mikroregiony był Z. Czeppe (1972). Wniósł on do literatury i następnie utrwalił (zwłaszcza powszechny w krajoznawstwie) podział na 5 mikroregionów: Wyżynę Mirowsko-Olsztyńską (341.311), Równinę Janowską (341.312), Obniżenie Pradeł (341.313), Wyżynę Ryczowską (341.314) i Bramę Wolbromską (341.315). Według tego podziału Wyżynę Mirowsko-Olsztyńską (341.311) położoną w północno-zachodniej części mezoregionu cechują liczne mogoty, niekiedy uwieńczone ruinami średniowiecznych zamków (Olsztyn, Mirów, Bobolice) oraz inne formy i zjawiska krasowe: jaskinie, leje i ponory oraz wywierzyska. Położona na wschód od Olsztyna, Równina Janowska (341.312), obniża się w kierunku wschodnim poniżej 300 m n.p.m. Jest przeważnie pokryta piaskami, z pojedynczymi pagórami wapiennymi. Rozcina ją dopływ Warty – Wiercica, nad którą leży Janów i Złoty Potok. Dalej na południe, nad dopływem Pilicy – Krztynią i jej dopływem – Białką, leży według Z. Czeppego Obniżenie Pradeł (341.313), będące formą tektoniczno-denudacyjną w obrębie słabo przepuszczalnych skał wieku jurajskiego, zamkniętą od wschodu Progiem Lelowskim. Jest to teren na którym występują liczne obszary podmokłe. Wyżyna Ryczowska (341.314) jest oddzielona



od Wyżyny Mirowsko-Olsztyńskiej doliną Białej i jej przedłużeniem w kierunku Myszkowa. W mikroregionie tym największe wysokości bezwzględne występują w okolicach Podzamcza (504 m n.p.m.) i Góry Straszki koło Ryczowa (494 m). Wyróżnikami krajobrazu mikroregionu jest kompleks skalny znany jako Góra Zborów oraz Góra Chełm w gminie Łazy. Piąty wydzielony przez Z. Czeppęgo mikroregion – Brama Wolbromska (341.315) jest poprzecznym obniżeniem o założeniu tektonicznym, wykorzystywanym przez płynącą na zachód Białą Przemszę, której źródła znajdują się na torfowisku pod Wolbromiem. W mikroregionie bierze początek płynąca na południowy wschód Szreniawa.



Ryc. 76. Mikroregiony Wyżyny Częstochowskiej na tle Mapy geologicznej Polski 1:200 000 w wersji A-zakrytej

Fig. 76. Microregions of the Częstochowa Upland mesoregion against the geological map of Poland 1:200,000, version A-closed

Źródło (Source): Opracowanie własne z wykorzystaniem arkuszy mapy geologicznej (Authors' own elaboration, with the help of geological map sheets): 65-Kraków (Kaziuk, Lewandowski 1978), 64-Gliwice (Kotlicka, Kotlicki 1977), 56-Kluczbork (Haisig, Wilamowski 1976), 57-Częstochowa (Biernat i in. 1978) [http://mapy.geoportal.gov.pl/wss/service/ATOM/httpauth/atom/CODGIK\\_NMT100](http://mapy.geoportal.gov.pl/wss/service/ATOM/httpauth/atom/CODGIK_NMT100)

Autorzy, zgadzając się z częścią argumentacji Z. Czeppęgo (1972), starali się doprecyzować granice zwłaszcza dla mikroregionów wydzielonych w części północnej Wyżyny Częstochowskiej. Trudno natomiast było przyjąć argumentację dotyczącą zarówno Wyżyny Ryczowskiej jak i Bramy Wolbromskiej. W przypadku

Wyżyny Ryczowskiej jest to jednostka łącząca kilka mikroregionów. Dlatego sugeruje się jej podział na mniejsze jednostki – bardziej uzasadnione odmiennością budowy geologicznej i rzeźby obszaru. W przypadku Bramy Wolbromskiej, autorzy nie znaleźli uzasadnienia dla tworzenia strefy przejściowej w randze mikroregionu, w sytuacji gdy dolina Białej Przemszy stosunkowo wyraźnie różnicuje obszary na północ i południe od jej przebiegu (ryc. 76, 77).

Zaproponowana poniżej autorska mikroregionalizacja opiera się na wyraźnym wyodrębnieniu i zróżnicowaniu krajobrazowym poszczególnych jednostek. Zakłada się wydzielenie 9 mikroregionów (tab. 14). Największy z mikroregionów to Pasma Mirowsko-Bobolickie, złożone z największej ilości rozdrobnionych i zindywidualizowanych jednostek (submikroregionów – tab. 15). W mikroregionie przeważają drobnoskalowe obiekty skałkowe urozmaicające liczne niewielkie kopulaste wzgórza. Cechę tę można uznać za diagnostyczną przy wyróżnianiu mikroregionu. Najmniejszy spośród wyróżnionych to mikroregion Obniżenie Janowa. Wkraczający w rozległą dolinę Wiercicy łądolód odry wyerodował i zasypał osadami czwartorzędowymi wschodnie jurajskie, pozostawiając charakterystyczne wyrównane tereny z zasypnymi pojedynczymi wzgórzami i nielicznymi skałkami na zboczach (tab. 14; ryc. 76).

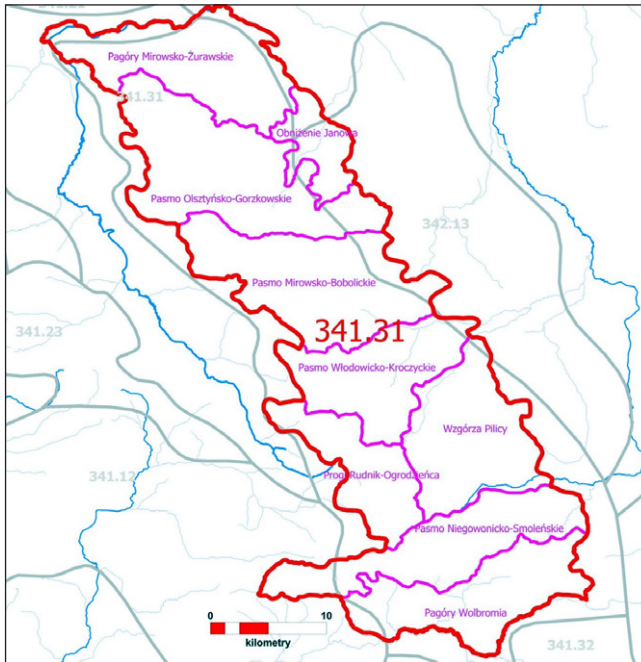
Tabela 14. Propozycja mikroregionalizacji Wyżyny Częstochowskiej

Nazwa mikroregionu	Kod mikroregionu	Powierzchnia (km <sup>2</sup> )	Obwód (km)
Pagóry Mirowsko-Żurawskie	341.311	123,61	69,19
Obniżenie Janowa	341.312	38,17	41,94
Pasma Olsztyńsko-Gorzowskie	341.313	167,88	87,43
Pasma Mirowsko-Bobolickie	341.314	148,91	69,55
Pasma Włodowicko-Kroczyckie	341.315	98,86	54,78
Progi Rudnik-Ogrodzieńca	341.316	71,83	50,28
Wzgórza Pilicy	341.317	116,23	53,95
Pasma Niegowonicko-Smoleńskie	341.318	111,62	78,18
Pagóry Wolbromia	341.319	105,79	69,76

Źródło: opracowanie własne

**Pagóry Mirowsko-Żurawskie (341.311).** Mikroregion cechują rozproszone niewielkie pagóry wapienne, zwieńczone ostańcami bryłowymi o mocno zredukowanych i zaokrąglonych kształtach lub urozmaicone drobnymi pojedynczymi skałkami przetrwałymi w okolicach wierzchołków. Rzeźba jednostki jest znacząco warunkowana osadami polodowcowymi o cechach lokalnych. Kształt i stopień form skałkowych związany jest z erozyjnym działaniem łądolodu odry i obecnością osadów polodowcowych.

**Obniżenie Janowa (341.312).** Mikroregion charakteryzują nieliczne, rozproszone i niewielkie pagóry wapienne, zwieńczone osadami czwartorzędowymi lub drobnymi pojedynczymi skałkami położonymi na wychodniach górnej jury. Formy terenu związane są z wejściem na ten obszar zlodowaceń środkowopolskich i pozostawieniem osadów fluwioglacjalnych. W dużym stopniu są także rezultatem modyfikacji rzeźby przez płynącą rzekę Wiercicę. Jest to stosunkowo płaski obszar wypełniony czwartorzędowymi osadami piaszczysto-żwirowymi (Różycki 1960; Myga-Piątek 2004).



Ryc. 77. Mikroregiony Wyżyny Częstochowskiej na tle podziału mezoregionalnego J. Kondrackiego. Linia czerwona – granica mezoregionu według autorów, linie różowe – granice mikroregionów według autorów, linie szare – granice mezoregionów według J. Kondrackiego i A. Richlinga

Fig. 77. The Częstochowa Upland microregions against the background of J. Kondracki's division into mesoregions. Red line – mesoregion border proposed by the authors, pink lines – microregion borders proposed by the authors, grey lines – mesoregion borders according to Kondracki and Richling

Źródło (Source): Opracowanie własne (Authors' own elaboration) i (and) J. Kondracki, A. Richling (1994)

**Pasma Olsztyńsko-Gorzowskie (341.313).** Jest to mikroregion silnie rozczłonkowany. Występują tu liczne obniżenia i doliny o przebiegu zgodnym z podstawowymi liniami tektonicznymi, o kierunku NE-SW. Jednostka w części środkowej rozcięta jest źródłiskowym odcinkiem rzeki Wiercicy. Mikroregion charakteryzuje się obecnością drobnych form ostańcowych i niewielkich zespołów skalnych. Większe zespoły ostańcowe występują jedynie w Olsztynie (Góry Towarne, Biakło, Żamkowe) i w Ludwinowie (tzw. Góry Gorzkowskie). W obszarze tym występuje kilka progów strukturalnych (kuest). Oprócz podstawowego progu pomiędzy utworami doggeru i malmu, w terenie widoczne są progi w obrębie osadów oksfordu (Biskupice, Zrębice, Pabianice). Cechą charakterystyczną jest obecność małoskalowych wydm, a także większych form eolicznych w postaci rozległych pól wydmowych (Zaborze, Siedlec) – tzw. „pustynia Siedlecka” (Myga-Piątek 2004; Nita 2004).

**Pasma Mirowsko-Bobolickie (341.314).** W mikroregionie występują liczne pagóry wapienne, zwieńczone grupami lub zespołami ostańców bryłowych o zróżnicowanych kształtach. Takie formy skałkowe występują w Suliszowicach, Przewodziszowicach, Trzebniowie, Niegowie a przede wszystkim w Mirowie-Bobolicach (tzw. Grzęda Mirowsko-Bobolicka). Ostańce stanowią wyróżnik

krajobrazowy tego mikroregionu. Obok form bryłowych występują liczne drobne pojedyncze formy ostańcowe (Szaflarski 1955; Nita, Nita 1994). W części południowej, w rozległej dolinie, w której bierze początek rzeka Białka, drobne formy ostańcowe zanikają, ustępując miejsca rozległym pagórom wapiennym.

**Pasma Włodowicko-Kroczyckie (341.315).** Jest to jednostka mocno zmieniona tektonicznie. W części centralnej występuje zespół rozległych pagórów wapiennych. Są one pocięte uskokami na mniejsze jednostki i w partiach szczytowych zwieńczone zespołami ostańców. Występują tu jedno z najbardziej charakterystycznych dla Wyżyny Częstochowskiej zespoły ostańcowe: Góry Zborów, Podlesic, Rzędkowic, Morska, Skarżyc. Natomiast w części zachodniej i wschodniej jednostka pozbawiona jest w zasadzie form ostańcowych. Tworzą ją rozległe pagóry i progi strukturalne np. w rejonie Włodowic. Całość mikroregionu uległa spłaszczeniu i pofalowaniu aż do doliny Krztyni i Więcki.

**Progi Rudnik-Ogrodzieńca (341.316).** Jest to mikroregion w obszarze źródłiskowym Warty. Kuesta jest tu silnie pocięta tektonicznie a poszczególne jej fragmenty uległy przemieszczeniu. Bezpośrednie jej zaplecze budują osady wapieni płytowych i marglistych, pozbawione form skałkowych. Większe formacje skałkowe występują pojedynczo i są nieliczne. Wyjątek stanowią formacje okolic Podzamcza. Obszar charakteryzuje się licznymi szerokimi obniżeniami i dolinami np. w okolicy Karlina.

**Wzgórza Pilicy (341.317).** Mikroregion położony jest pomiędzy źródłiskowym odcinkiem Pilicy a dolinami rzek Krztyni i Więcki. W krajobrazie mikroregionu dominują wzgórza zbudowane z osadów wapieni płytowych i marglistych pozbawionych form skałkowych. W części wschodniej na wapienne wzgórza nakładają się lessy. Granicę mikroregionu od wschodu stanowi rzeka Żebrówka. Jej obszary prawobrzeżne (zachodnie) pokrywają lessy położone na wzgórzach wapiennych. Natomiast obszary lewobrzeżne zbudowane są już z utworów piaskowcowych (kreda – Próg Lelowski). Koryto Żebrówki ma założenia strukturalne i kończy zasięg wychodni jurajskich na powierzchni. Cały obszar charakteryzuje się licznymi szerokimi obniżeniami i dolinami oraz falistym reliefem.

**Pasma Niegowonicko-Smoleńskie (341.318).** Jest to mikroregion o licznie występujących, urozmaiconych w formie pagórach wapiennych, zwieńczonych zespołami ostańców, także o zróżnicowanych kształtach. Za unikatowe formy skałkowe należy uznać występujące w Niegowonicach, Żelazku, Ryczowie, Smoleniu, Strzegowej, Udorzu. Obok licznych form bryłowych występują również iglice, baszty, kopuły i kopy skalne (Szaflarski 1955). To zróżnicowanie morfologiczne ostańców skalnych stanowi specyfikę tego mikroregionu. W części południowej formy ostańcowe zanikają, ustępując rozległym płaskim pagórom wapiennym, ze skałkami na zboczach.

**Pagóry Wolbromia (341.319).** Jest to mikroregion zbudowany z bardzo rozległych ale stosunkowo płaskich pagórów wapiennych, prawie zupełnie pozbawiony ostańców skalnych. Brak większych wychodni wapieni skalistych stanowi podstawę delimitacji tego obszaru. W części południowej teren obniża się do doliny Białej Przemszy, czasem na dość krótkich odcinkach, tworząc charakterystyczne formy terenu zbliżone do mocno zniwelowanych odcinków przełomowych (np. w rejonie Bydlina). W części wschodniej wkraczają pokrywy lessowe na wschodnie wapieni górnej jury. To sprawia, że przebieg granicy jest trudny do wyznaczenia w terenie, ponieważ rzeźba jest stosunkowo podobna. Granice proponuje się przeprowadzić na pograniczu występowania izolowanych pokryw utworów wapiennych (jura) i piaskowcowych (kreda). W tym drugim przypadku teren należy do Wyżyny Miechowskiej.



## SUBMIKROREGIONALIZACJA WYŻYNY CZĘSTOCHOWSKIEJ

Dokonując podziału Wyżyny Częstochowskiej na mikroregiony, podobnie jak w przypadku Progu Woźnickiego podjęto się zadania delimitacji jednostek mniejszych. W obrębie wcześniej wydzielonych 9 mikroregionów dokonano delimitacji 114 submikroregionów (tab. 15; ryc. 79). Największy submikroregion (Wypłaszczenie Kidów) zajmuje powierzchnię niespełna 20 km<sup>2</sup>. Najmniejszy submikroregion o powierzchni nieco ponad 1,5 km<sup>2</sup> to Pagóry Prędziszowa. Średnia powierzchnia submikroregionu dla Wyżyny Częstochowskiej wynosi niewiele ponad 8,5 km<sup>2</sup>. W aspekcie średniej powierzchni wyróżnionych mikroregionów Wyżyny Częstochowskiej wynoszącej 110 km<sup>2</sup>, świadczy to o dużym rozdrobieniu submikroregionów i o silnym wewnętrznym zróżnicowaniu mikroregionów. Przyczyną tego faktu jest silne zróżnicowanie litofacjalne wapieni wieku jurajskiego – występowanie w bezpośrednim sąsiedztwie wapieni o różnej odporności – detrytycznych, skalistych, rafowych, oolitowych, itp. (Dżułyński 1952; Matyszkiewicz 1997; Heliasz 1990), co przekłada się na zróżnicowany przebieg procesów wietrzeniowo-erozyjnych, w tym tempo procesów krasowych, a w konsekwencji na wyraźne kontrasty rzeźby (bezpośrednie graniczenie ostańcowych wzgórz i pagórów z formami depresyjnymi o różnych kształtach i stopniu wypełnienia utworami plejstoceńskimi (ryc. 78).

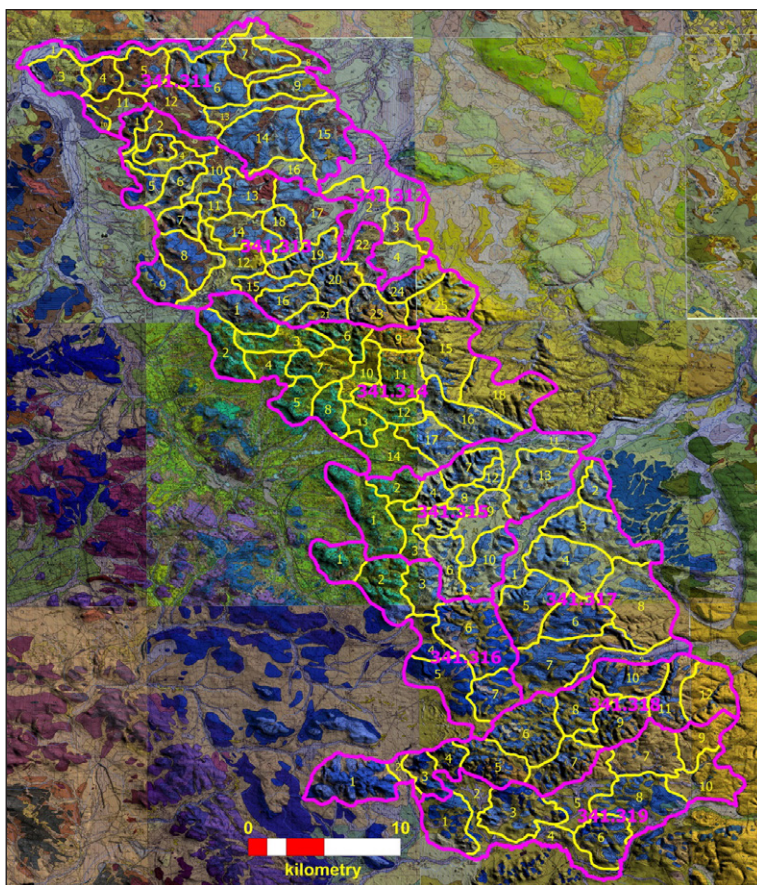
Tabela 15. Submikroregiony wydzielone na obszarze mezoregionu Wyżyny Częstochowskiej

Nazwa submikroregionu	Nazwa mikroregionu	Kod mikro-regionu	Powierzchnia (km <sup>2</sup> )	Obwód (km)
Przełom Mirowski	Pagóry Mirowsko-Zurawskie	341.311	5,08	20,87
Przełom Mstowski			1,51	5,41
Płaskowzgórze Złotej Góry			5,58	13,76
Wzgórze Mirowskie			9,48	14,56
Pagóry Siedlca			6,51	20,03
Wzgórze skałkowe Mstowa			16,25	17,77
Wzgórze Łyse Góry			13,07	16,77
Obniżenie Krasickie			5,10	13,61
Wzgórze Mokreszy			5,02	19,45
Pagóry Prędziszowa			7,71	11,89
Obniżenie Suche Doły			5,04	9,56
Pagóry Srocka			7,79	12,22
Dolina Okupnik			13,92	17,41
Płaskowzgórze Zagórskie			8,80	16,62
Wzgórze Żurawskie			6,28	20,66
Obniżenie Czepurki	6,45	12,43		
Równina Wiercicy	Obniżenie Janowa	341.312	16,57	27,21
Dolina Górnej Wiercicy			10,09	21,13
Wzgórze Lisiej Góry			4,69	11,09
Obniżenie Apolonki			6,83	13,13
Pasma Zielona Góra	Pasma Olsztyńsko-Gorzowskie	341.313.1	3,38	10,49
Wypłaszczenie Kusiąt			6,44	16,55
Wzgórze skałkowe Kusiąt			3,64	8,58
Obniżenie Olsztyna			11,64	25,15
Pagóry Olsztyna			7,76	13,07
Wzgórze ostańcowe Olsztyna			8,83	16,04
Sokole Góry			4,67	13,50
Progi Biskupic			6,56	11,17

Zrąb Choroński	Pasma Olsztyńsko-Gorzowskie		11,38	18,82
Obniżenie Turowa			5,87	11,15
Pagóry Przymiłowic			7,25	14,25
Pasma wzgórz wydmyowych Krasawy			6,45	16,32
Płaskowzgórza Ciecierzyna			7,29	11,84
Płaskowzgórza Zrębic			4,50	11,75
Obniżenie Siedlca			5,98	14,08
Skalki Suliszowickie			7,87	12,34
Wzgórza Piasek-Czepurka			6,45	12,07
Pagóry Pabianic			10,66	14,44
Pasma skałkowe Siedlca			3,38	8,28
Pasma skałkowe Złotego Potoku			4,71	16,23
Wzgórza Ostrężnickie			4,79	12,09
Pagóry Potoku Złotego			6,24	13,19
Wzgórza Ludwinowskie			4,88	9,49
Góry Gorzkowskie			9,65	13,81
Płaskowzgórza Dąbrowna			7,60	11,96
Pasma Zaborza			Pasma Mirowsko-Bobolickie	341.314
Zrąb Przybynowa	5,26	12,25		
Wyniesienie Zawady	8,64	12,00		
Obniżenie Żareckie	7,10	13,26		
Progi Żareckie	4,73	10,26		
Wzgórza Trzebniowa	10,96	21,75		
Wzgórza Przewodziszowic	14,98	18,19		
Progi Jaworzniaka	12,48	18,57		
Wzgórza Postaszowickie	8,67	14,19		
Obniżenie Moczydeł	15,61	20,21		
Wzgórza Niegowy	8,79	14,60		
Pasma Mirów-Bobolice	8,31	16,06		
Pagóry Kotowic	5,19	11,64		
Obniżenie Huciska	6,32	10,62		
Wzgórza Tomiszowickie	5,82	12,33		
Wzgórza Dobrogoszczyc	7,97	12,93		
Wzgórza Zdowa	5,65	10,43		
Wzgórza Bliżyckie	4,68	10,14		
Pasma Włodowickie	Wyniesienie Gołuchowic	341.315	15,32	19,26
Skąły Rzędkowickie			10,51	14,83
Wyplaszczanie Morska			9,74	23,96
Skąły Podlesickie			2,33	7,03
Wzgórza Morska			15,68	17,61
Pagórki Piaseczna-Żerkowic			5,05	10,30
Pasma Zborowa			6,16	15,35
Obniżenie Podlesickie			4,37	9,54
Obniżenie Kroczyckie			4,19	10,10
Wzgórza Lgoty			7,17	13,33
Dolina Białki			6,23	11,26
Skąły Kroczyckie			3,44	7,99
Wyniesienie Gołuchowic			8,67	16,51

Wzgórze Rudnickie	Pasma skałkowe Ogrodzieńca	341.316	7,73	11,41
Pagóry Blanowicko-Kromolowskie			10,92	14,94
Wzgórze Skarżyskie			7,46	11,86
Obniżenie Kromolowa-Bzowa			5,22	12,47
Wypłaszczenie Ogrodzieńca			13,73	20,46
Pagóry Karlina			18,59	18,52
Skałki Podzamcza			8,17	11,58
Dolina Krztyni	Wzgórze Pilicy	341.317	12,11	30,32
Wzgórze Pradeł			4,91	9,88
Wzgórze Bukowiec			15,12	20,81
Wzgórze Sierbowickie			14,63	15,98
Wzgórze Giebla			14,04	16,37
Wzgórze Dzwonowic			10,13	13,82
Wzgórze Kocikowej			18,47	25,36
Wypłaszczenie Kidów			19,84	18,72
Dolina Górnej Pilicy			6,98	20,83
Progi Niegowonickie	Pasma Niegowonicko-Smoleńskie	341.318	15,02	16,99
Dolina Centuri			9,75	13,40
Góry Chełmskie			8,91	14,83
Pagóry Rodak			11,34	13,74
Skałki Żelaska			2,25	10,57
Skałki Ryczowskie			5,36	11,62
Wzgórze Góry Bydlińskie			3,94	9,10
Wzgórze Złożeńca			9,82	14,75
Skałki Strzegowskie			15,54	16,29
Wzgórze Cisowa			9,90	14,94
Pasma Kapiolki			9,47	14,39
Garby Udorza			10,32	14,79
Płaskowzgórze Chechła		341.319	10,65	14,57
Dolina Ryczówka (Dębieńnicy)	Pagóry Wolbromia		10,43	17,67
Wzgórze Kwaśniowa			9,73	27,17
Wypłaszczenie Kolbarku			13,50	17,70
Dolina Tarnówki			6,57	18,06
Pagóry Kolbarku			10,52	19,51
Płaskowzgórze Okupnik			9,68	13,01
Pagóry Dłużca			12,01	15,75
Pagóry Poręba Dzierżna			15,27	19,82

Źródło: opracowanie własne



Ryc. 78. Mezoregion, mikroregiony i submikroregiony Wyżyny Częstochowskiej na tle Numerycznego Modelu Rzeźby Terenu i Szczegółowej mapy geologicznej Polski 1:50 000  
 Fig. 78. The Częstochowa Upland mesoregion, microregions and submicroregions against the background of the Digital Terrain Model and the detailed geological map of Poland 1:50,000

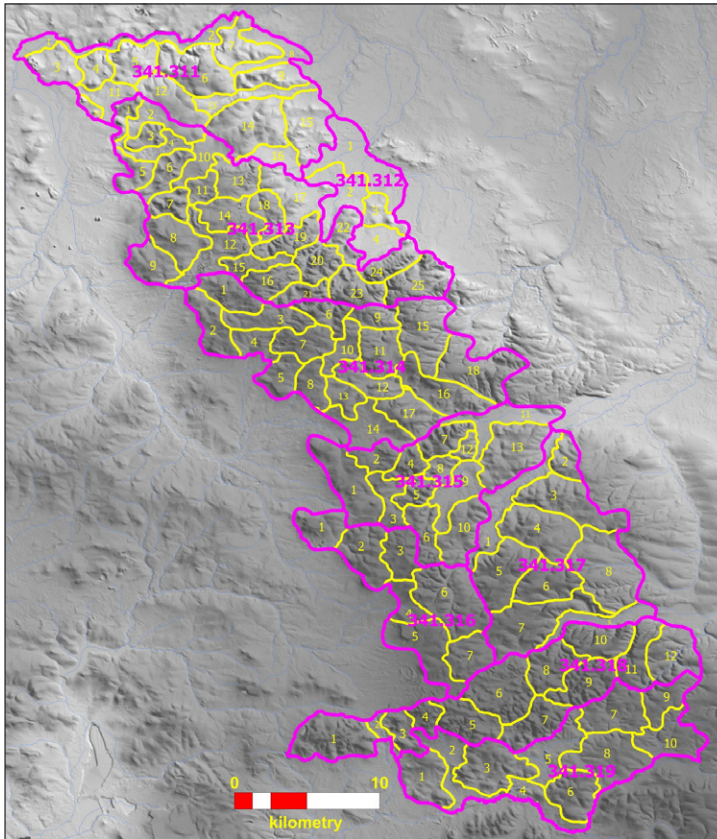
Źródło (Source): Opracowanie własne z wykorzystaniem arkuszy mapy geologicznej (Authors' own elaboration, with the help of geological map sheets): 845-Częstochowa (Bardziński i in. 1985), 846-Janów (Heliasz i in. 1984), 847-Koniecpol (Kurkowski 1999), 848-Secemin (Kwapisz 1978), 878-Koziegłowy (Wyczółkowski 1960), 879-Żarki (Heliasz i in. 1994), 880-Pradła (Bednarek i in. 1983), 881-Szczekociny (Kwapisz 1981), 911-Wojkowice (Biernat 1957), 912-Zawiercie (Kotlicki 1968), 913-Ogrodzieniec (Kaziuk i in. 1976), 914-Wolbrom (Bukowy 1963); (<http://bazadata.pgi.gov.pl/data/smgp/>,

<http://metadane.pgi.gov.pl/semantic-metadata/SzczegolowaMapaGeologicznaPolski/dataset/>),

[http://mapy.geoportal.gov.pl/wss/service/ATOM/httpauth/atom/CODGIK\\_NMT100](http://mapy.geoportal.gov.pl/wss/service/ATOM/httpauth/atom/CODGIK_NMT100))

Wydzielone submikroregiony, pomimo że są zwarte, nie są do końca jednorodnymi. Tworzą różne konfiguracje związane z występowaniem grupy skałkowej lub większych zespołów. Układając się w ciągi tworzą małe pasma wzgórz lub luźno rozrzucone pojedyncze pagóry. Tworzą też małe wysoczyzny porozcinane drobnymi obniżeniami (ryc. 79).





Ryc. 79. Mezoregion, mikroregiony i submikroregiony Wyżyny Częstochowskiej na tle Numerycznego Modelu Rzeźby Terenu. Linia różowa – granica mikroregionów według autorów, linie żółte – granice submikroregionów wg autorów

Fig. 79. The Częstochowa Upland mesoregion, microregions and submicroregions against the background of the Digital Terrain Model. Pink lines – microregion borders proposed by the authors, yellow lines – submicroregion borders proposed by the authors

Źródło (Source): Opracowanie własne z wykorzystaniem (Authors' own elaboration, with the help of) [http://mapy.geoportal.gov.pl/wss/service/ATOM/htpauth/atom/CODGIK\\_NMT100](http://mapy.geoportal.gov.pl/wss/service/ATOM/htpauth/atom/CODGIK_NMT100)

## DYSKUSJA

Wyodrębnienie jednostki Wyżyny Częstochowskiej ze względu na specyficzną budowę geologiczną i rzeźbę terenu oraz cechy sieci hydrograficznej wydaje się dość oczywiste. Decydującą rolę w wydzieleniu jednostek fizycznogeograficznych odgrywa szczegółowa budowa geologiczna, zarówno w aspekcie stratygraficznym (wschodnie górnourajskie), litologicznym (różne odmiany wapieni), jak i tektonicznym (główne uskoki i strefy nieciągłości). Z budową geologiczną powiązane są cechy geomorfologii strukturalnej oraz sieci rzecznej tego obszaru. Proponowana mikroregionalizacja obrazuje także związki tektoniki ze strukturą geologiczną oraz związki litologii z rzeźbą terenu i jej charakterystycznymi cechami (kras).

Porównanie granic mezoregionu Wyżyny Częstochowskiej, który został opracowany w latach 60. XX w. przez J. Kondrackiego (1965a) z późniejszymi modyfikacjami (Kondracki 1969, 1998; Kondracki, Richling 1994), oraz z granicami zaproponowanymi przez autorów (Nita 2010; Nita, Myga-Piątek 2017) jest trudne w ocenie, ze względu na różnicę czasu jaki dzieli te opracowania. Aktualna dostępność materiałów kartograficznych, ich wysoka szczegółowość zapewniająca możliwość precyzyjnej delimitacji a także powszechność wykorzystywania zaawansowanych narzędzi GIS, jest nieporównywalna do źródeł i materiałów sprzed 50 lat (Nita, Myga-Piątek 2012b; Solon i in. 2018). Różnice tych dwóch opracowań dotyczą także założeń interpretacyjnych zasięgu i wpływu na fizjografię wychodni utworów górnourajskich. Aktualnie Wyżyna Częstochowska, jest silnie zalesiona i tylko w małym stopniu wykorzystywana rolniczo. Wyróżniki krajobrazu w postaci ostańcowych form skalnych są zadrzewione i zalesione, co utrudnia identyfikację i weryfikację terenową. Sprawia to, że Wyżyna ma dzisiaj zupełnie inne cechy krajobrazowe, odmienne w porównaniu do cech sprzed 30-40 lat. Innym problemem interpretacyjnym jest zasięg występowania charakterystycznych dla Wyżyny Częstochowskiej węglanowych utworów jurajskich w części środkowo-wschodniej. Na geologicznej mapie odkrytej zasięg ten jest znacznie większy, lecz na powierzchni utwory jury są zasypane utworami czwartorzędowymi – głównie lessami na Progu Lelowskim (Różycki 1982; Heliasz i in. 1994). Dlatego, zdaniem autorów nie powinno się tego „lessowego” obszaru zaliczać do Wyżyny Częstochowskiej. Opiswane utrudnienia nie dotyczą w zasadzie części zachodniej, gdzie granice utworów liasu i doggeru są wyraźnie odzwierciedlone w krajobrazie w postaci progu strukturalnego tzw. „kuesty jurajskiej”. Niemniej i tu powstaje problem delimitacji na podstawie zgodności z granicą geologiczną (według autorów) czy morfologiczną (podnóżem stoku zbudowanego ze zwietrzelin utworów jurajskich – jak u J. Kondrackiego). W części południowo-zachodniej tektonika mocno komplikuje jednoznaczność poprowadzenia granicy. W podziale J. Kondrackiego, granica biegnie doliną rzeki Centurii i odcina wyspę wystąpienia utworów górnej jury zaliczając ten teren do Garbu Tarnogórskiego, którego specyfikę krajobrazową określają wystąpienia utworów triasowych (ryc. 78). Autorzy przyjęli, że największy blok tych utworów, zachowujący typowe cechy dla Wyżyny Częstochowskiej, jako submikroregion Progi Niegowonickie jest integralną jej częścią. Natomiast tereny zbudowane z utworów malmu w obszarze Rokitna Szlacheckiego i Wysokiej oraz Błędowa, występujące jako niewielkie enklawy na osadach jury dolnej i środkowej (Kaziuk i in. 1976; Bednarek i in. 1978), uznano za przynależne do innej jednostki mezoregionalnej (nowy proponowany mezoregion Kotliny Siewierza). Zarówno południowa jak i północna granica Wyżyny Częstochowskiej jest w dużym stopniu zbliżona do przebiegu wyznaczonego przez J. Kondrackiego, a różnice wynikają ze skali dokładności jak i typowo krajobrazowego podejścia do kartowania w terenie. Podejście to polega na szczegółowej delimitacji typowych form w strefie granicznej, a w przypadku ich braku na interpretacji zasięgu utworów geologicznych. W odcinku południowym granice postawiono na przełomowym odcinku Białej Przemszy, w której widoczne są założenia tektoniczne. W budowie i rozwoju rzeki widoczne jest również zróżnicowanie części prawobrzeżnej i lewobrzeżnej. Pierwsza, bardziej stroma z wychodniami jury górnej, zbudowana jest z wapieni skalistych, a druga jest łagodniejsza i zasypana osadami czwartorzędu z wyspami wapieni płytowych zwanych „wobromskimi”, co obrazuje się w odmiennym typie rzeźby. Te złożone różnice geologiczne i krajobrazowe, spowodowały, że autorzy

nie włączyli całej doliny Białej Przemszy do Wyżyny Częstochowskiej, jak uczynił to J. Kondracki.

Wykonane uszczegółowienie podziału mezoregionu fizycznogeograficznego na przykładzie Wyżyny Częstochowskiej, nie burzy zasady zasięgów regionów wg kryterium zachowania terytorialnej całości i wewnętrznej jedności (Kondracki 1968), analizy pochodzenia rzeźby terenu i budowy geologicznej w skali regionalnej.

### PODSUMOWANIE

Przedstawiona powyżej delimitacja Wyżyny Częstochowskiej w stosunkowo niewielkim stopniu zmienia granice mezoregionu wyznaczone przez J. Kondrackiego. Autorzy proponują:

- Pominięcie jednostki rozgraniczającej Wyżynę Częstochowską od Wyżyny Wieluńskiej i włączenie przełomowego odcinka Warty w okolicy Mirowa i Mstowa, tam gdzie występują wychodnie osadów jurajskich do tej pierwszej.
- Doprecyzowanie zachodniej granicy mezoregionu – delimitacje u podstaw zasięgu osadów górnourajskich, a nie u podstawy stoku, daleko w zalegających osadach dolinnych.
- Doprecyzowanie granicy zachodniej z wykorzystaniem kryterium rzeźby strukturalno-denuacyjnej i przyłączenie części tego obszaru do Doliny Górnej Warty.
- Włączenie do Wyżyny Częstochowskiej obszaru wychodni górnourajskich w okolicy Niegowonic, oddzielonych doliną Centurii.
- Przyjęcie południowej granicy w obniżeniu doliny Białej Przemszy i Szreniawy.
- Włączeniu do Wyżyny Częstochowskiej rozlewiska rzeki Wiercicy aż po zasięg osadów kredowych Sygontki i Julianki.
- Włączenie do Wyżyny Częstochowskiej pagórów ostańcowych Gorzkowa i Bystrzanowic, zbudowanych z typowych formacji wapieni skalistych.
- Włączenie do Wyżyny Częstochowskiej części obszarów lessowych Tomiszowic, w podłożu których dominują utwory górnourajskie, z pominięciem Progu Lelowskiego.
- Wyłączenie z Wyżyny Częstochowskiej części obszarów w dolinie Pilicy na wschód od miejscowości Poręby Dzierżna i Siadczy i Solca oraz Wolbromia, w podłożu których występują utwory kredowe i czwartorzędowe.